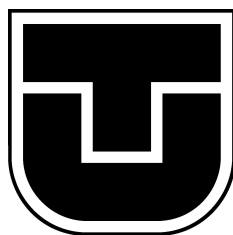


# Program pre ADuC RF101, časový multiplex v2



Peter Šoltýs

Katedra elektroniky a multimediálnych telekomunikácií

Technická univerzita v Košiciach

Študijný odbor: Elektronika

Študijný program: Smartelektronika

Stupeň štúdia: druhý

Ročník: prvý

Akademický rok: 2015/2016

# Obsah

<b>Obsah</b>	<b>i</b>
<b>Zoznam obrázkov</b>	<b>ii</b>
<b>1 Zadanie</b>	<b>1</b>
<b>2 Procesor ADuC RF101</b>	<b>2</b>
<b>3 Návrh riešenia</b>	<b>3</b>
3.1 Synchronizácia . . . . .	6
3.2 Sériová komunikácia . . . . .	7
3.3 Kontrola integrity firmvéru . . . . .	7
<b>4 Programová realizácia</b>	<b>8</b>
4.1 Kontrola integrity firmvéru . . . . .	8
4.2 Program pre koncentrátor . . . . .	8
4.3 Program pre jednotlivé uzly . . . . .	12
<b>5 Výsledky meraní</b>	<b>17</b>
5.1 PRNG (pseudo random number generator) . . . . .	17
<b>6 Zhodnotenie</b>	<b>20</b>
<b>Literatúra</b>	<b>21</b>

# Zoznam obrázkov

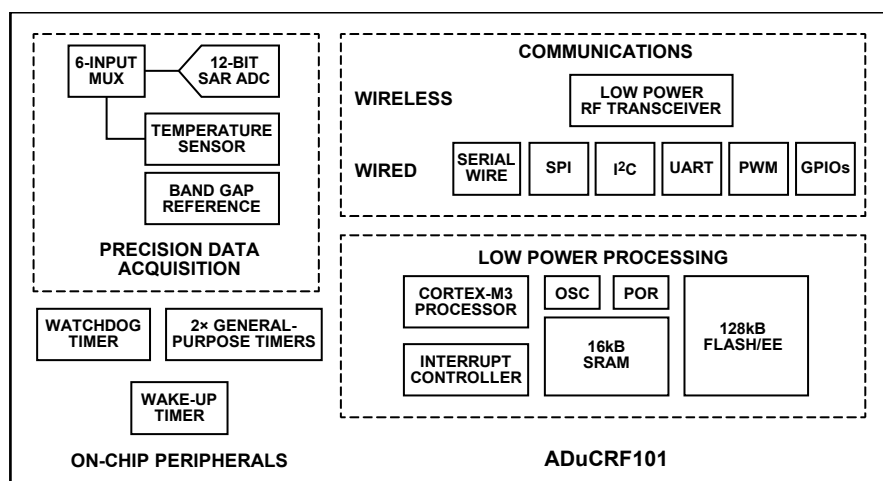
2.1	Bloková schéma ADucRF101 [2] . . . . .	2
3.1	Základná schéma komunikácie . . . . .	3
3.2	Časová schéma multiplexu . . . . .	4
3.3	Časová schéma viacnásobného posielania . . . . .	4
3.4	Všeobecný formát paketu . . . . .	5
3.5	Formát dátového paketu . . . . .	5
3.6	Formát identifikačného paketu . . . . .	5
3.7	Formát re-transmisného paketu . . . . .	6
3.8	Schéma synchronizácie . . . . .	6
3.9	Formát synchronizačného paketu . . . . .	7
4.1	Blokový diagram prijímania jedného paketu . . . . .	9
4.2	Organizácia pamäte . . . . .	10
4.3	Blokový diagram hlavného programu koncentrátora . . . . .	11
4.4	Blokový diagram prijímania paketov . . . . .	12
4.5	Blokový diagram funkcie opätovného posielania stratených paketov . . . . .	13
4.6	Blokový diagram prerušení koncentrátora . . . . .	14
4.7	Blokový diagram hlavného programu uzla . . . . .	15
4.8	Blokový diagram prerušení uzla . . . . .	16
5.1	Formát pseudonáhodného paketu . . . . .	18
5.2	Úrovňová reprezentácia programu . . . . .	19

# 1 Zadanie

Vytvorte pomocou komunikačného procesora **ADuC RF101** komunikačnú sieť pre UWB radary s centrálnym zberom dát, z jednotlivých uzlov siete. Pre komunikáciu použite voľné komunikačné pásmo 890 MHz a dáta posielajte na centrálny uzol pomocou časového multiplexu. Dosiahnite pri tom minimálnu požadovanú priepustnosť 6 kbit/s pre každý uzol siete. Implementujte synchronizáciu spúšťanú koncentrátorom s čo najmenším časovým rozptylom.

## 2 Procesor ADuC RF101

Tento procesor firmy Analog Devices [2] založený na jadre Cortex-M3 od firmy ARM. je vybavený veľkým množstvom periférnych obvodov čo vidno na obrázku 2.1. Taktiež obsahuje 12 bitový A/Č prevodník, čo ho predurčuje najmä k nasadeniu v senzorovej technike. Značne výhodnou vlastnosťou procesora je integrovaný bootloader, čo znamená že je ho možné naprogramovať aj pomocou sériového rozhrania. No hlavnou výhodou tohto procesora je v puzdre integrovaný rádio-frekvenčný komunikačný modul, spojený s procesorom pomocou internej komunikačnej zbernice SPI. Integrované jadro procesoru dodáva vysoký výkon čo je výhodné pre rýchle aplikácie. Jeho integrovaný RF modul má maximálny výstupný výkon vysielača +10 dBm pri maximálnej prenosovej rýchlosti 300 kbit/s. Podporuje, Manchester kódovanie, premenlivú dĺžku paketov až do 240 bajtov, pri použití FSK alebo GFSK modulácie. Jeho bloková schéma je na obrázku 2.1.



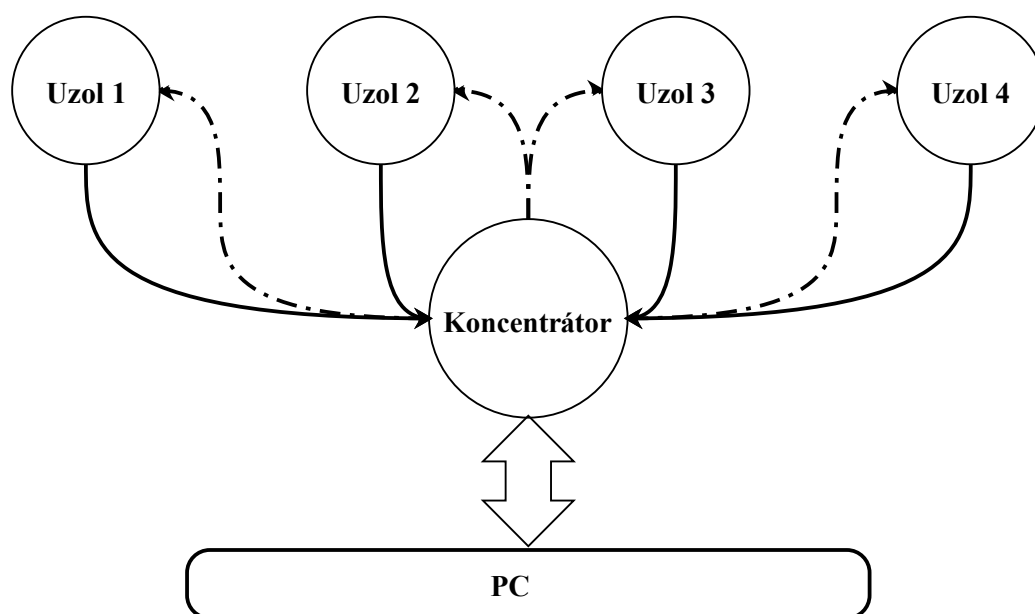
Obr. 2.1: Bloková schéma ADuCRF101 [2]

### 3 Návrh riešenia

Pri navrhovaní riešenia bolo potrebné dodržať základné požadované parametre.

- minimálna priepustnosť 6 kbit/s na uzol
- odhadovaný minimálny počet ulov 4
- zaručiť čo najvyššiu spoľahlivosť prenosu
- použiť časový multiplex, kvôli šetreniu šírky frekvenčného pásma

V princípe by celá komunikácia mala mať tvar zobrazený na obrázku 3.1.

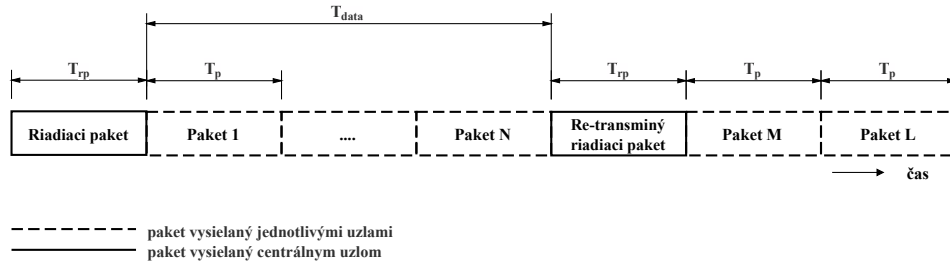


Obr. 3.1: Základná schéma komunikácie

Pre dodržanie požadovaných parametrov bolo potrebné navrhnuť vhodnú schému fungovania prenosu. Pre dôkladný návrh riešenia je nutné poznať vlastnosti rádio-frekvenčného komunikačného modulu opísané v kapitole 2. Pre zabezpečenie postačujúcej prenosovej rýchlosti sa ponúka iba najvyššia prednastavená prenosová rýchlosť 300 kbit/s čo je značne viac než je potrebné. Pre zabezpečenie spoľahlivosti prenosu sa využíva hardvérové CRC (Cyclic Redundancy Check) ktoré používa prednastavený polynóm  $x^{16} + x^{12} + x^5 + 1$  [1] namiesto samo-opravných kódov, čo zjednodušuje spracovanie a návrh. No v praxi použitie CRC znamená že paket s nesprávnym CRC je jednoducho zahodený, teda stratu dát. Preto je

nutné tieto pakety znovu preposlať, čo si môžeme dovoliť vďaka dostatočne veľkej prenosovej rýchlosti.

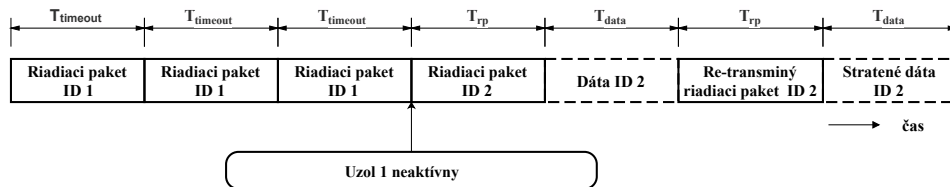
Prenos dát je uskutočňovaný v časovom multiplexe zobrazenom na obrázku 3.2. Najskôr vyšle koncentrátor identifikačný paket 3.6, ktorý oznamuje určitému uzlu priradenie slotu, počas ktorého uzol vysiela nahromadené pakety. Každý paket vysielaný uzlom obsahuje hlavičkou v ktorej je informácia o počte nahromadených paketov a poradové číslo paketu, jeho formát je na obrázku 3.4. Keďže koncentrátor pozná celkový počet aj jednotlivé čísla prijatých paketov, tak dokáže určiť ktoré pakety chýbajú. Na základe tejto informácie koncentrátor môže vyslať retransmisný paket 3.7, ktorým žiada o opätovné preposlanie chýbajúcich paketov  $M$ ,  $L$ , ....



Obr. 3.2: Časová schéma multiplexu

Vo všeobecnosti všetky časy zobrazené na obrázku 3.2 okrem času  $T_{rp}$  sú premenlivé, keďže pakety môžu nadobúdať rôznu dĺžku.

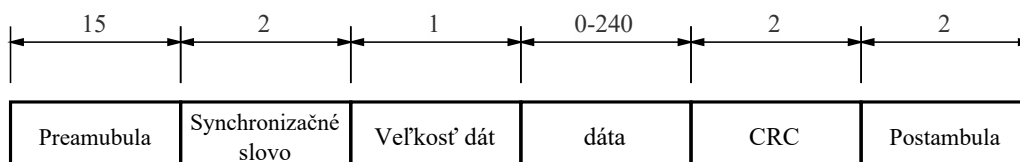
Pretože vždy existuje možnosť že sa budú strácať aj riadiace pakety, koncentrátor tieto správy posiela viacnásobne, kým požiadaný uzol nepošle požadované dáta, alebo nulový paket, podľa schémy na obrázku 3.3. Ak uzol nereaguje ani po viac násobnej (v tomto prípade tretej) výzve s oneskorením  $T_{timeout} = 5ms$  koncentrátor bude pokračovať vo vysielaní riadiacich paketov pre ostatné uzly.



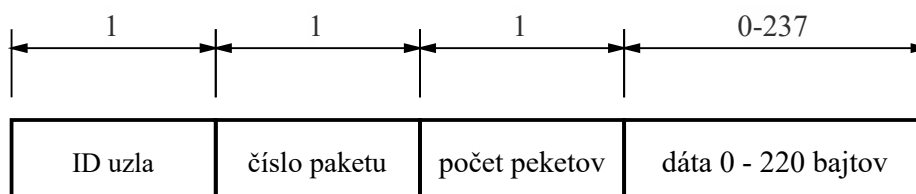
Obr. 3.3: Časová schéma viacnásobného posielania

Vo všeobecnosti každý posielaný paket má tvar 3.4 a v jednotlivých paketoch je rozdielna iba dátová (v tejto práci označovaná ako paket) oblasť o dĺžke 240

bajtov ale pri dátovom pakete kvôli pridávanej hlavičke ostáva pre dáta 237 bajtov ako je vidno na obrázku 3.5. Ak uzol nemá nahromadené žiadne dáta vo svojej pamäti, tak vysiela nulový paket, ktorý má nulové oba polia označujúce počet a poradové číslo.

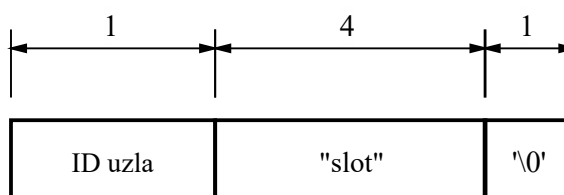


Obr. 3.4: Všeobecný formát paketu



Obr. 3.5: Formát dátového paketu

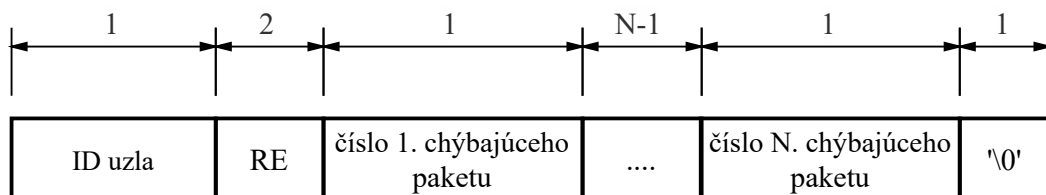
Identifikačný paket vysielať koncentrátorom, ktorý signalizuje jednotlivým uzlom priradenie slotu sa používa paket v tvare zobrazenom na obrázku 3.6.



Obr. 3.6: Formát identifikačného paketu

Re-transmisný paket, ktorým koncentrátor žiada jednotlivé uzly o opätovné zaslanie stratených dát má formát zobrazený na obrázku 3.7.

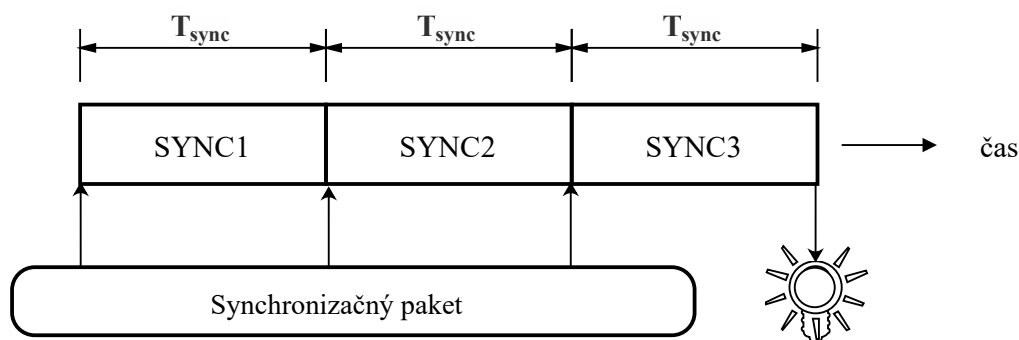




Obr. 3.7: Formát re-transmisného paketu

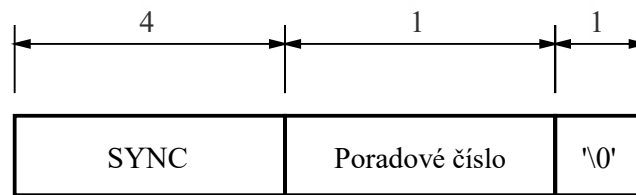
### 3.1 Synchronizácia

Pri meraní pomocou UWB radarov je dôležité zabezpečiť, synchronný začiatok merania. To sa uskutočňuje zmenou logickej úrovne na výstupnom pine procesora, po prijatí synchronizačného paketu. Aby bola dosiahnutá čo najväčšia spoľahlivosť synchronizácie a čo najmenší časový rozptyl, bola navrhnutá ako zobrazuje obrázok 3.8. Pri takejto organizácii s viacnásobným vysielaním synchronizačného paketu, v konštantných časových rozstupoch  $T_{sync} = 1.2ms$ , postačuje ak je prijatý jeden synchronizačný paket, ktorý v poradovom čísle nesie aj informáciu o zostávajúcom čase do synchronizácie (zmeny logickej úrovne na synchronizačnom pine). Čas po synchronizáciu ( $T_{synchronize} = T_{sync} * N$ , kde  $N$  = poradové číslo synchronizačného paketu), z tejto informácie si každý uzol nastaví čas spustenia merania.



Obr. 3.8: Schéma synchronizácie

Pri synchronizácii koncentrátor používa paket v tvare zobrazenom na obrázku 3.9.



Obr. 3.9: Formát synchronizačného paketu

## 3.2 Sériová komunikácia

Na prenos dát medzi PC a procesorom je použité jednoduché rozhranie UART. Na zabezpečenie spoľahlivosti prenosu dát je použitý model komunikácie len pomocou vybranej množiny znakov. Sú to znaky vyjadrujúce hexadecimálnu sústavu čísel, teda ASCII znaky **1-9 A-Z**. Týmto spôsobom je zabezpečené že akýkoľvek prichádzajúci/odchádzajúci znak ktorý nepatrí do tejto množiny znamená posielanie/prijímanie riadiacich správ.

## 3.3 Kontrola integrity firmvéru

Pre zaistenie správnej funkčnosti softvéru je kontrolovaná integrita pomocou softvérového CRC (Cyclic Redundancy Check) súčtu, ktorý postupne spravý súčet z celej programovej pamäti, kde na konci je externým nástrojom **Srecord** [5] zapísaný výsledok CRC, ktorý zabezpečí výsledný súčet kontroly je rovný nule, v prípade že výsledok nieje rovný nule, znamená to že je poškodený riadiaci softvér a program sa nespustí.

## 4 Programová realizácia

Pri vytváraní programu pre **ADuC RF101** bola použitá oficiálna knižnica pre komunikačný modul, čo značne zjednodušovalo prácu s interným rádio-frekvenčným modulom ovládaným vnútornou SPI zbernicou. Počas vytvárania programu, boli v prerušeníach používané, takzvané **flagy**, indikátory, ktoré v sebe nesú informáciu o vykonaní prerušenia. Takáto taktika používania indikátorov je hlavne s pohľadu stability programu značne výhodnejšia, ako vykonanie rutín priamo v prerušení. Pretože častým dôsledkom takéhoto prístupu bolo vykonanie rutiny v nevhodných okamih, čo malo častokrát za následok nestabilitu programu.

Program je rozdielny pre koncentrátor aj pre samostatné uzly. Oba programy možno konfigurovať v spoločnom hlavičkovom súbore **settings.h** kde sa dajú nastaviť všetky potrebné parametre, ako aj množstvo uzlov. V programových súboroch sú uzly označované ako **Slave** a koncentrátor ako **Master**.

V oboch prípadoch bola snaha používať čo najviac spoločných báзовých funkcií ako napríklad na inicializáciu periférií, rádiového modulu, funkcie na prijatie jedného paketu zobrazenej na 4.1, vyslanie paketu a pod. Pričom nastavenia všetkých periférnych obvodov je možné zmeniť v spoločnom hlavičkovom súbore **settings.h**

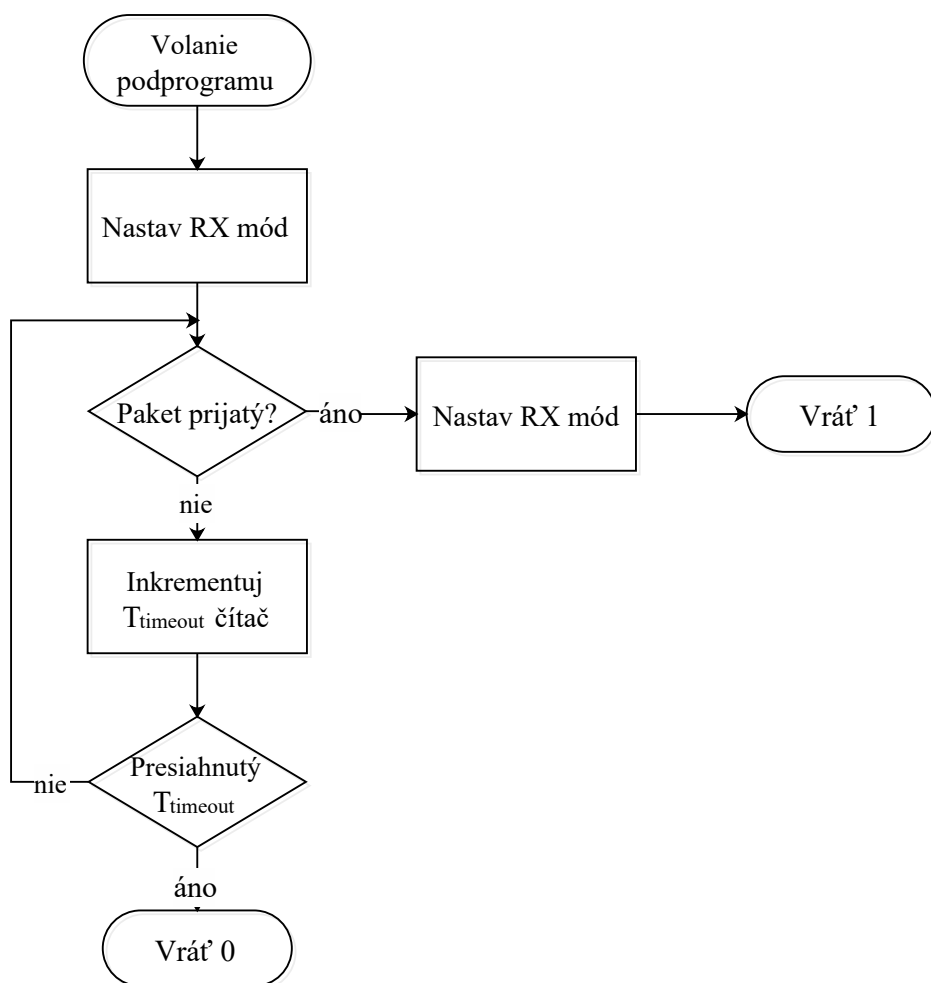
V ďalších častiach budú opísané len tie riešené problémy, ktoré tvorili veľké obtiažnosti pri ladení a je vhodné vedieť o ich existencii.

### 4.1 Kontrola integrity firmvéru

Za týmto účelom bola použitá už pripravená knižnica spočívajúca CRC [4] v ktorej bol nastavený štandard CCITT [3] používajúci polynóm v tvare  $x^{12} + x^5 + 1$  [3]. Táto funkcia bola použitá v kombinácii s nástrojom Srecord [5] pomocou ktorého je súbor \*.hex predĺžený na veľkosť pamäte a na miesto posledných dvoch bajtov vloží inverzný výsledok CRC, čo pri kontrole vnútorným programom zabezpečí výsledok rovný nule. Následne tento vygenerovaný \*.hex súbor musí byť nahraný do mikroprocesora pomocou zavádzača (bootloader) na čo slúži program **CM3WSD** od **Analog Devices**.

### 4.2 Program pre koncentrátor

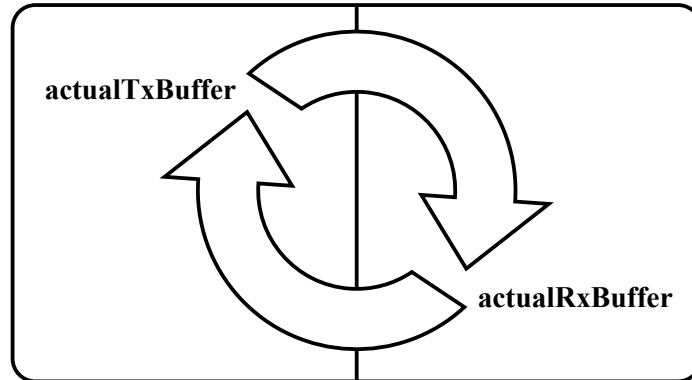
Pakety v koncentrátore sú zhromažďované až pokým neskončí retransmisia stratených paketov. Tieto dáta je nutné ukladať do pamäte, ktorá je organizovaná podľa obrázku 4.2 ako kruhová pamäť. Vždy do jednej časti sú prijaté dáta za-



Obr. 4.1: Blokový diagram prijímania jedného paketu

---

pisované a z druhej sú vysielané cez UART do hostovského zariadenia za pomoci DMA kanálu, čo zbytočne nezaťažuje procesor. Rovnaká organizácia je použitá u koncentrátora aj v jednotlivých uzloch UWB senzorovej siete.



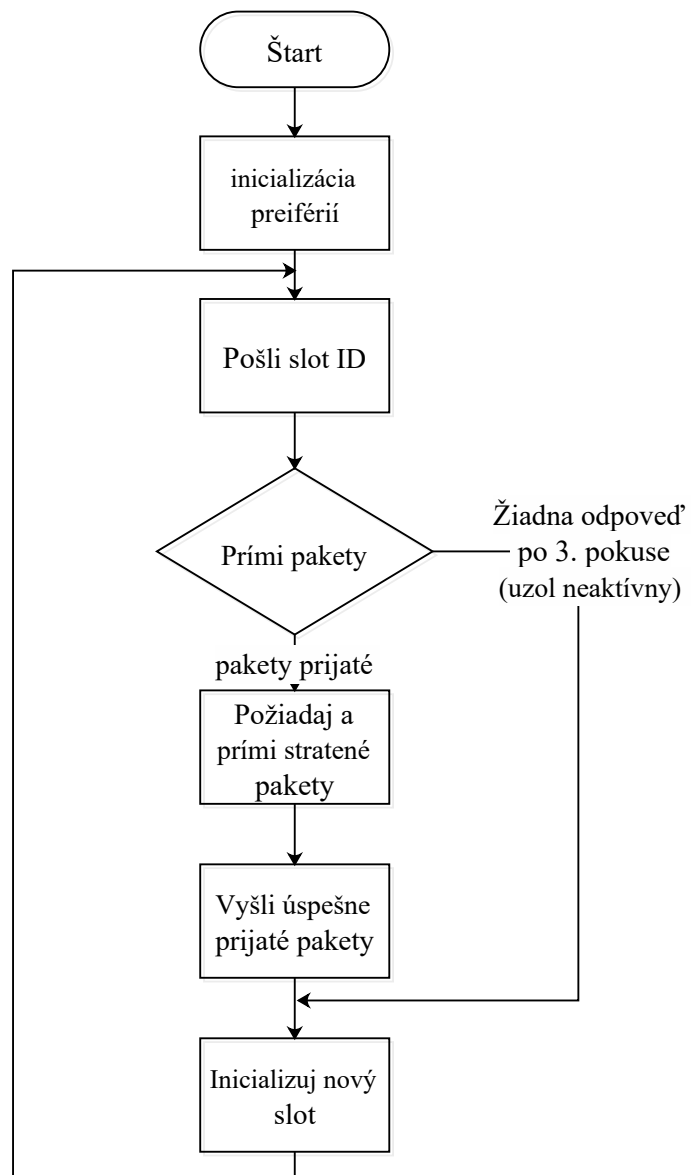
Obr. 4.2: Organizácia pamäte

Hlavný program zobrazený na obrázku 4.3 je principiálne jednoduchý. Niektoré zložitejšie funkcie sú taktiež zobrazené na nasledujúcich obrázkoch.

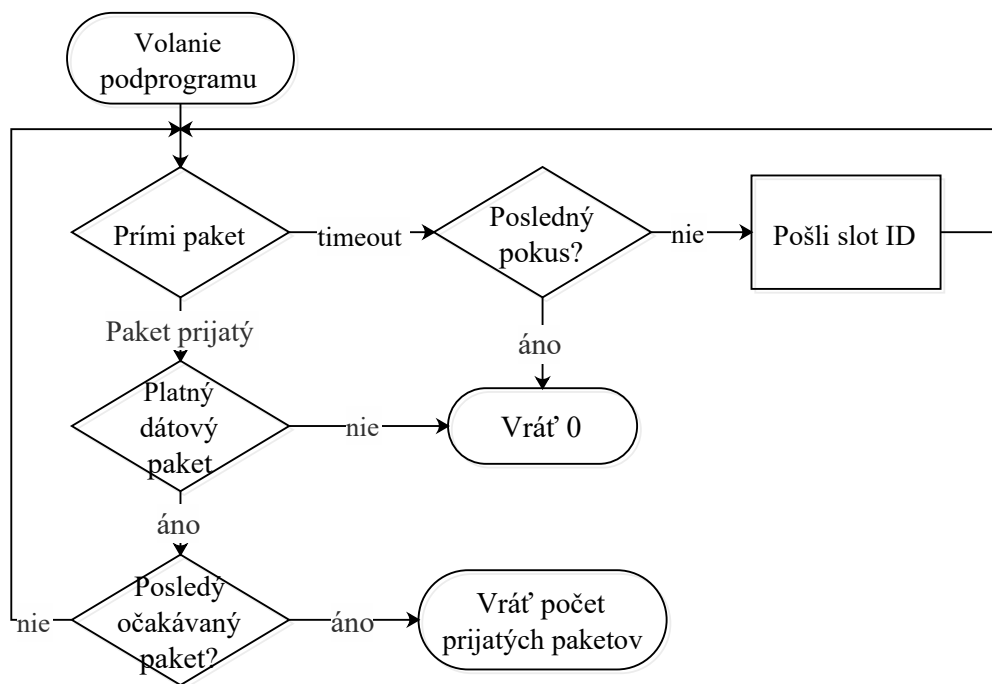
Dôležitou funkciou pri fungovaní programu je funkcia **receivePackets** zobrazená na obrázku 4.4 zodpovedná za prijatie, vyhodnotenie a uloženie paketu do pamäte 4.2.

Pre dosiahnutie spoľahlivosti prenosu je implementovaná funkcia **ifMissPkt-Get** zobrazená na obrázku 4.5 zodpovedná za požiadanie a prijatie stratených paketov, ktoré neboli prijaté alebo nesesedeli ich CRC súčet.

Pre pochopenie fungovania celého programu je potrebné taktiež poznať čo sa vykonáva v procesore počas prerušení, čo je opísané na obrázku 4.6.



Obr. 4.3: Blokový diagram hlavného programu koncentrátoru



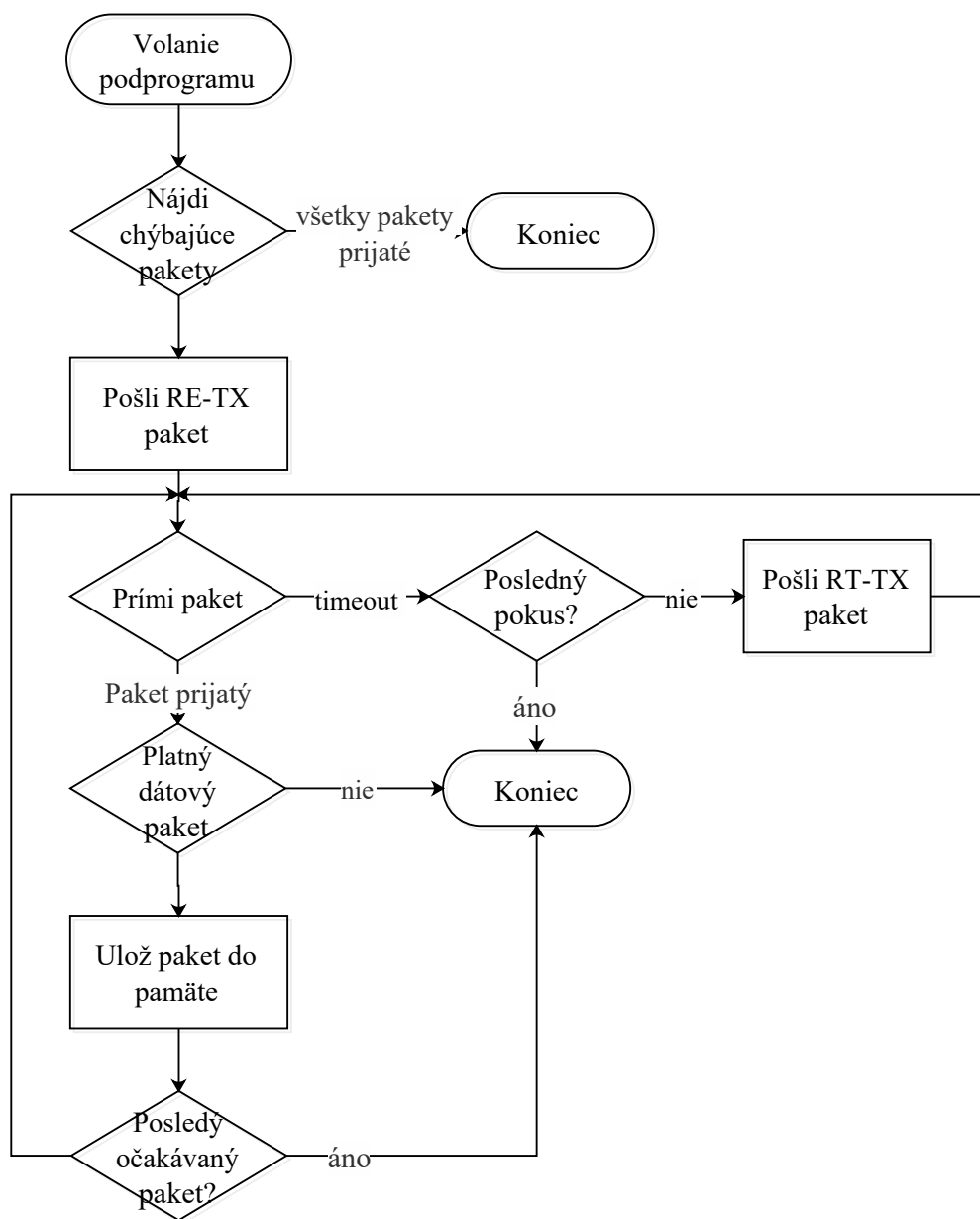
Obr. 4.4: Blokový diagram prijímania paketov

### 4.3 Program pre jednotlivé uzly

Program pre jednotlivé uzly zhromažďuje pakety v pamäti až pokým príme riadiaci paket s príslušným identifikátorom ktorý požaduje o poslanie nahromadených dát. Preto má rovnakú kruhovú organizáciu pamäte ako koncentrátor rozdelenú na dve časti ako zobrazuje obrázok 4.2. Takáto organizácia umožňuje uzlu zhromažďovať pakety a zároveň pristupovať k už poslaným paketom, o ktoré môže koncentrátor požiadať.

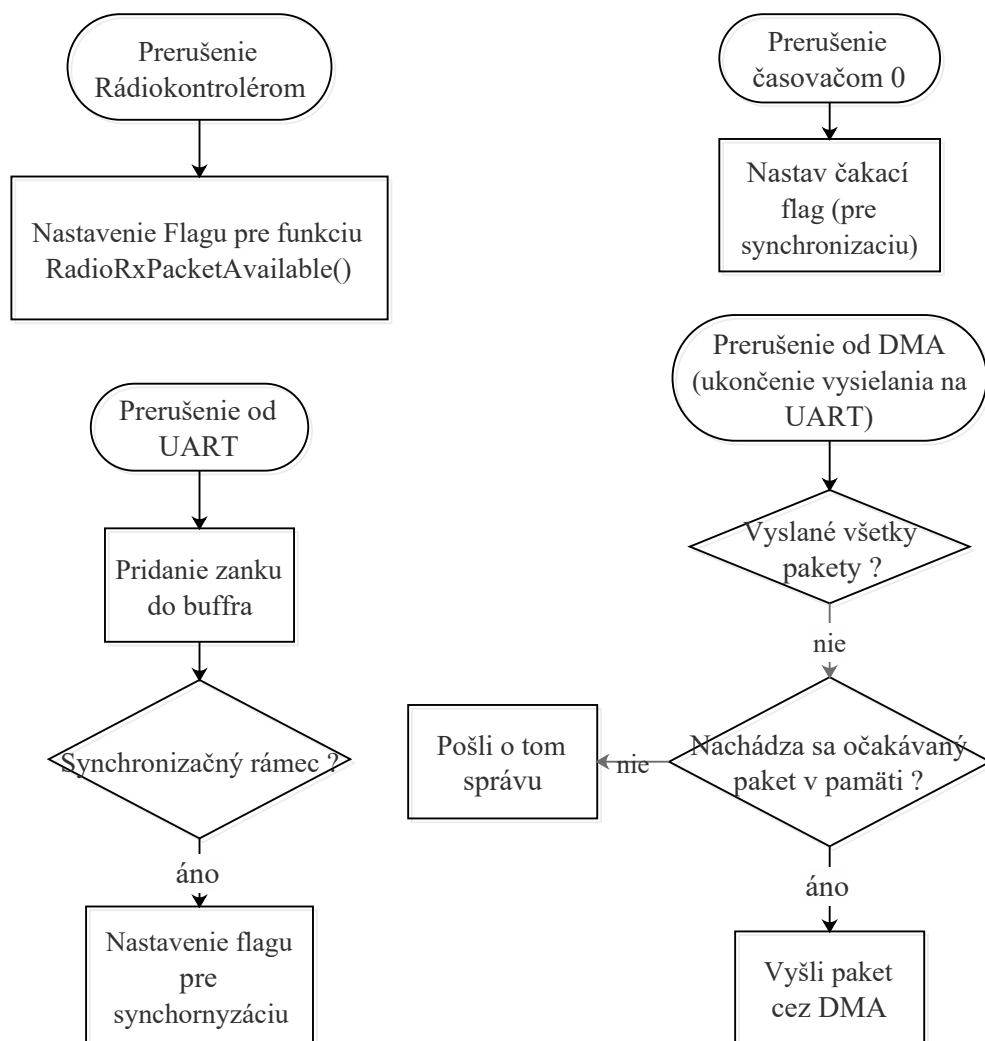
V hlavnom programe pre uzly nezohráva žiadny z podprogramov výraznú úlohu alebo je ľahko pochopiteľný zo zdrojového kódu, preto nebude žiadny z nich bližšie opísaný.

Pre pochopenie fungovania celého programu je potrebné taktiež poznať čo sa vykonáva v procesore počas prerušení, čo je opísané na obrázku 4.8.

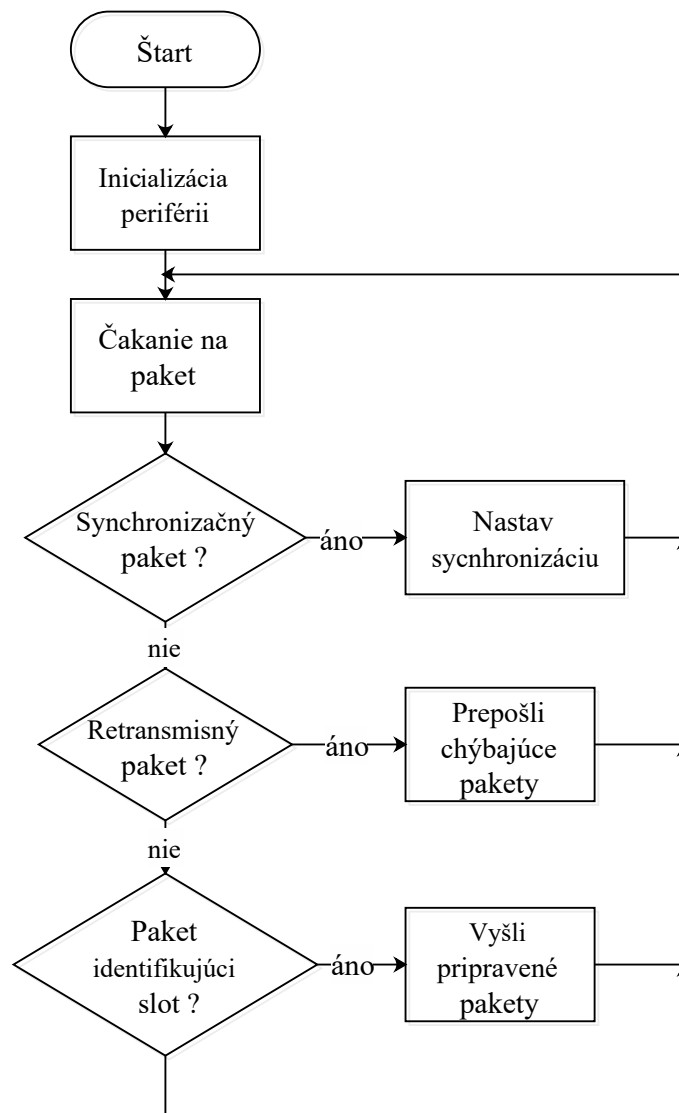


Obr. 4.5: Blokový diagram funkcie opätovného posielania stratených paketov

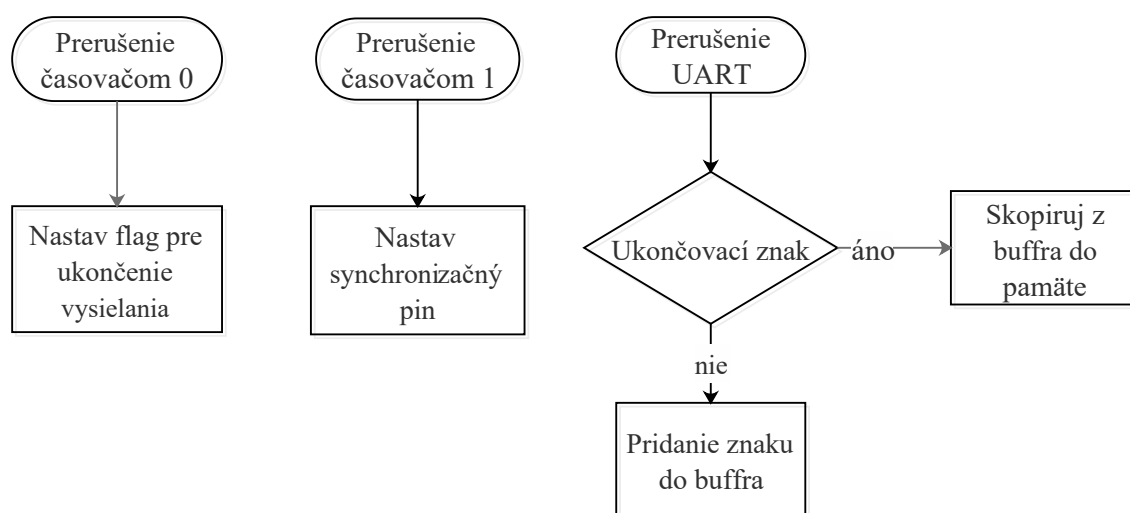




Obr. 4.6: Blokový diagram prerušení koncentrátoru



Obr. 4.7: Blokový diagram hlavného programu uzla



Obr. 4.8: Blokový diagram prerušení uzla

## 5 Výsledky meraní

Zatiaľ táto časť nie je veľmi dobre spracovaná ale dostupné sú predbežné výsledky

Výsledky pre testovanú verziu 1

- dosiahnutá prenosová rýchlosť 30 kbit/s na uzol pri štyroch uvažovaných
- stratovosť paketov 1/110
- potreba re-transmisie paketu 1/10

Výsledky pre testovanú verziu 2

Stratovosť paketov sa znížila vplyvom použitia vylepšenej funkcie na prijímačej jeden paket. Keďže počas testovania bol zistený veľký problém s konverziou hexadecimálnych znakov na binárne dáta. Táto zmena priniesla celému systému väčšiu stabilitu a spoľahlivosť.

- dosiahnutá prenosová rýchlosť 1000 bajt/s = 8000 bit/s na uzol pri štyroch uvažovaných
- stratovosť paketov 6/32000
- potreba re-transmisie paketu 1/100

Výsledky merania sú zatiaľ len z krátkodobých meraní. Maximálna prenosová rýchlosť je obmedzená rýchlosťou UART komunikácie na strane jednotlivých uzlov, ktorá je obmedzená na 9600 baud/s 8000 bit/s

### 5.1 PRNG (pseudo random number generator)

Pre otestovanie priepustnosti a stability programu z dlhodobého pohľadu bola zvolená forma testovania náhodnými dátami. Za týmto účelom bol použitý **lineárny kongruentný generátor** produkujúci pseudonáhodnú postupnosť čísel  $x_1, x_2, x_3, \dots$  s využitím lineárnej rekurentnej rovnice

$$x_n = (ax_{n-1} + b) \bmod m \quad (5.1)$$

pričom  $a, b, m$  sú parametre charakterizujúce generátor a  $x_0$  je (tajná) počiatočná hodnota (angl. **seed**).

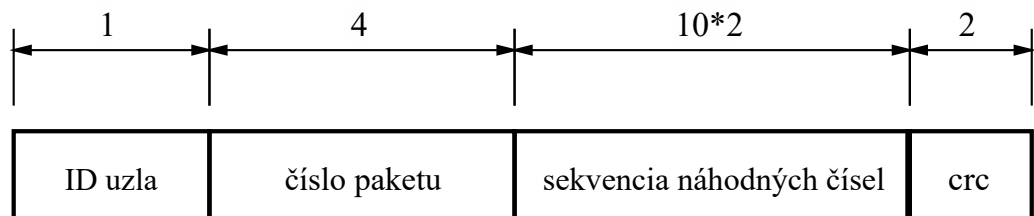
Parameter  $m$  je v prípade realizácie zvyčajne volený tak, aby operácia bola realizovaná automaticky bez nutnosti realizovať dodatočné matematické operácie. Typickým príkladom sú hodnoty  $m = 2^{16}$ , resp.  $m = 2^{32}$  automaticky pri

výpočtoch s presnosťou 16 resp. 32 bitov. Parametre  $m, a, b$  je možné zvoliť tak, aby perióda generovanej pseudonáhodnej postupnosti bola  $m$ .

Pri testovaní boli zvolené hodnoty  $a = 214013$ ,  $b = 2531011$ ,  $m = 2^{32}$

Pri tvorbe referenčného skriptu pre program Matlab bol zistený problém presnej reprodukovateľnosti výpočtu pseudonáhodnej postupnosti. Keďže program Matlab pracuje s väčšou presnosťou ako jadro procesora ADuC-RF101, čoho výsledkom boli zaokrúhľovacie chyby, čo sa ukázalo ako geometricky sa zväčšujúca chyba vo výpočte takejto postupnosti. Pri použití rovnakých dátových typoch ako v jazyku C nastal problém, že matlab používa saturačnú aritmetiku, čoho dôsledkom bola konštantná satureovaná hodnota čísla  $2^{32}$ . Z tohto dôvodu bol na odkontrolovanie a správne generovanie pseudo náhodných postupností použitý jazyk C++ ktorý je pre oba architektúry (*cortex - M3* a *intel x86*) používa rovnaké dátové typy definované ako štandard.

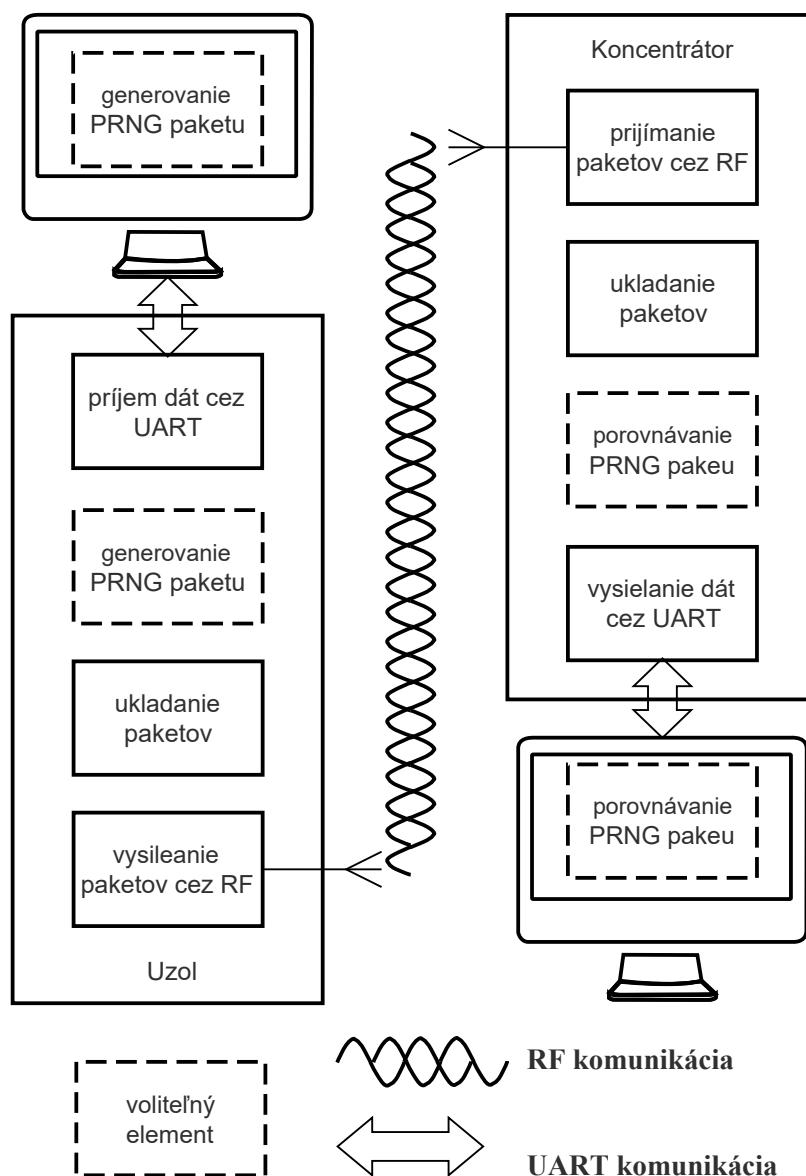
Pri vytváraní dátovej štruktúry "náhodného" paketu obsahujúceho jednotlivé premenné bolo nutné použiť direktívu **pragma pack(1)** čo zaručilo usporiadanie bajtov v poradí za sebou bez vkladania ochranného bajtu, čo sa v praxi často využíva. Samotný formát takéhoto paketu je zobrazený na obrázku 5.1 Takto formátované slová zaplnili celú dátovú oblasť paketu.



Obr. 5.1: Formát pseudonáhodného paketu

Takýto model testovania je implementovaný na viacerých úrovniach, čo je zobrazené na obrázku 5.2. Tento model umožňuje lokalizovať ako aj vylúčiť zdroj chýb.

Pre testovanie prímu na hosťovskom PC je vytvorený program **PktGenerator** pre generovanie PRNG paketov a **PktReader** pre kontrolu PRNG paketov.



Obr. 5.2: Úrovňová reprezentácia programu

## 6 Zhodnotenie

Na základe porovnania z predchádzajúcou verziou je takto navrhnutý model výhodnejší pre spoľahlivosť prenosu ako aj pre dosiahnuteľnú prenosovú rýchlosť na uzol. Prípadne by v tomto modele mohol byť nastavený časový interval medzi opätovným vysielaním časových slotov, pre uvoľnenie frekvenčného pásma, keďže v použitej aplikácii nieje časovo kritická doba prijatia dát.

Najnovšiu verziu programu je možné nájsť na internetovom úložisku [github](https://github.com/petersoltys/) <https://github.com/petersoltys/>

# Literatúra

- [1] Analog Devices. *ADuCRF101 User Guide*, 2013. 3
- [2] Analog Devices. *Precision Analog Microcontroller with RF Transceiver, ARM Cortex-M3*, 2013. ii, 2
- [3] Joe Geluso. Crc16-ccitt, 2001-2007. <http://srecord.sourceforge.net/crc16-ccitt.html>. 8
- [4] Michael Barr. *Slow and fast implementations of the CRC standards.*, 2000. 8
- [5] Peter Miller. Srecord 1.64, Jun 2014. <http://srecord.sourceforge.net/>. 7, 8